

5.11 EXERCÍCIOS

5.1 — No circuito da Fig. 5.48a, a tensão fornecida pela fonte é dada por:

$$v(t) = 254 \cos 50t \quad (\text{V})$$

A corrente no amperímetro ideal é:

$$i(t) = 14,1 \cos (50t + 60^\circ) \quad (\text{A})$$

Determinar:

- a tensão no capacitor;
- a capacitância do capacitor;
- o valor da resistência R do circuito.

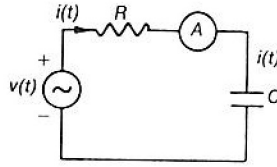


Fig. 5.48a

Solução

O primeiro passo nesse tipo de exercício é representar as grandezas na forma fasorial, como segue.

Da expressão de $v(t)$, obtemos:

$$\begin{aligned}V_{máx} &= 254 \text{ V} \\ \theta &= 0^\circ \\ \omega &= 50 \text{ rad/s}\end{aligned}$$

Da expressão de $i(t)$:

$$\begin{aligned}I_{máx} &= 14,1 \text{ A} \\ \phi &= 60^\circ\end{aligned}$$

Os valores eficazes destas grandezas são obtidos dividindo-se seus valores máximos por $\sqrt{2}$, assim temos:

$$V = \frac{254}{\sqrt{2}} \quad \text{ou} \quad V = 220 \text{ V}$$

$$I = \frac{14,1}{\sqrt{2}} \quad \text{ou} \quad I = 10 \text{ A}$$

Assim, na forma fasorial temos:

$$\dot{V} = 220 \angle 0^\circ$$

e

$$\dot{I} = 10 \angle 60^\circ$$

No domínio da frequência o circuito original é representado por:

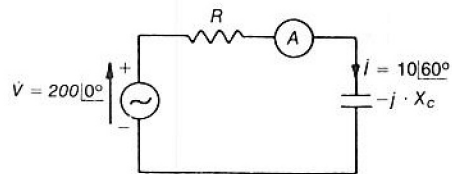


Fig. 5.49 Domínio da frequência.

Pela aplicação da segunda lei de Kirchoff, obtemos:

$$RI - j \cdot X_C \cdot I = \dot{V}$$

ou, ainda:

$$(R - j \cdot X_C) = \frac{\dot{V}}{I} = \frac{220\angle 0^\circ}{10\angle 60^\circ} = 22\angle -60^\circ$$

Representando-se o segundo membro na forma cartesiana, resulta:

$$R - j \cdot X_C = 11 - j19$$

Da igualdade desses dois complexos resulta:

$$R = 11 \Omega \text{ e } X_C = 19 \Omega$$

Desta forma, obtêm-se:

a) A tensão no capacitor será dada por:

$$\dot{V}_C = -j \cdot X_C I$$

então

$$\dot{V}_C = -j19 \times 10\angle 60^\circ = 19\angle -90^\circ \cdot 10\angle 60^\circ$$

ou

$$\dot{V}_C = 190\angle -30^\circ$$

No domínio do tempo, resulta:

$$V_C(t) = 190 \sqrt{2} \cos(50t - 30^\circ)$$

b) Sendo $X_C = 19 \Omega$ e lembrando que

$$X_C = \frac{1}{\omega C}$$

resulta que:

$$C = \frac{1}{\omega X_c} = \frac{1}{50 \times 19}$$

ou

$$C = 1\,053 \mu\text{F}$$

c) $R = 11 \Omega$.

5.2— No circuito da figura que se segue, a fonte de alimentação fornece uma tensão de freqüência 1 kHz e valor eficaz 20 V. O valor eficaz da tensão medida no resistor de 10Ω é 10 V, e o valor eficaz da tensão medida na bobina de indutância L e resistência r é 12 V. Determine:

- o valor eficaz da corrente no circuito;
- a defasagem entre a tensão e a corrente;
- os valores da indutância L e da resistência r da bobina.

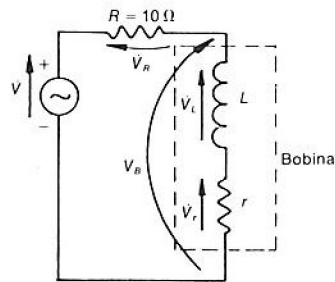


Fig. 5.49a

Solução

Vamos inicialmente construir o diagrama de fasores correspondente, no qual a corrente está em fase com as tensões \dot{V}_R e \dot{V}_r , e ainda atrasada de 90° em relação à tensão \dot{V}_L .

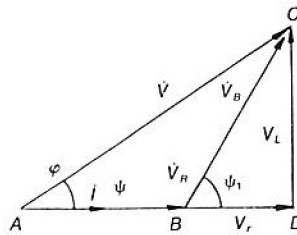


Fig. 5.50 Diagrama de fasores.

a) O valor eficaz da corrente no circuito é dado por:

$$I = \frac{V_R}{R} = \frac{10}{10}$$

ou

$$I = 1 \text{ A}$$

b) Para determinarmos a defasagem entre a tensão V e a corrente I , ou seja, entre V e V_R , vamos aplicar a lei dos co-senos no triângulo ABC , como segue:

$$V_B^2 = V_R^2 + V^2 - 2 V V_R \cos \psi$$

ou

$$\cos \psi = \frac{V_R + V^2 - V_B^2}{2 V V_R} = \frac{10^2 + 20^2 - 10^2}{2 \times 20 \times 10}$$

que resulta:

$$\cos \psi = 0,89^{\circ}$$

ou

$$\psi = 27^{\circ}$$

c) Vamos inicialmente determinar a defasagem ψ_1 entre V_B e I pela lei dos senos:

$$\frac{V_B}{\text{sen } \psi} = \frac{V}{\text{sen } (180 - \psi_1)}$$

que resulta:

$$\text{sen } \psi_1 = 0,77$$

ou

$$\psi_1 = 50^{\circ}$$

Desta forma, do triângulo BCD obtemos:

$$V_r = V_B \cos \psi_1 \text{ ou } V_r = 7,7 \text{ V}$$

e, sendo $V_r = rI$, resulta:

$$r = 7,7 \Omega$$

e, ainda,

$$V_L = V_B \text{ sen } \psi_1 \text{ ou } V_L = 9,2 \text{ V}$$

e, sendo $V_L = X_L I$, resulta:

$$X_L = 9,2 \Omega$$

lembrando que:

$$X_L = \omega L = 2\pi \cdot fL$$

resulta:

$$L = 1,46 \text{ mH}$$

5.3 — No circuito da Fig. 5.51 são dados:

$$v(t) = 254 \cos(377t - 60^\circ) \text{ V}$$

e o diagrama de fasores correspondentes. Determinar:

- as tensões V_1 e V_2 , bem como a corrente I , no domínio de frequência e no domínio do tempo;
- os valores R e C .

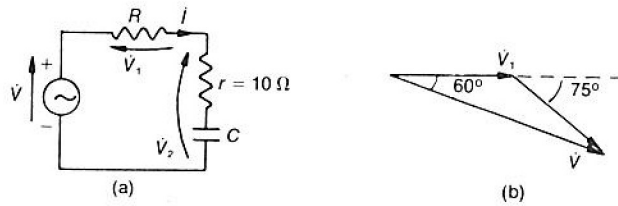


Fig. 5.51 (a) Circuito; (b) diagrama de fasores.

Solução

a) Sendo $v(t) = 254 \cos(377t - 60^\circ)$, temos:

$$\begin{aligned} V_{máx} &= 254 \text{ (V)} \\ V &= 220 \text{ V} \\ \omega &= 377 \text{ rad/s} \\ \theta &= -60^\circ \end{aligned}$$

Aplicando-se a lei dos senos ao diagrama de fasores, resulta:

$$\frac{V}{\sin(180^\circ - 75^\circ)} = \frac{V_2}{\sin 60^\circ} = \frac{V_1}{\sin(75^\circ - 60^\circ)}$$

obtendo-se:

$$V_1 = 59 \text{ V e } V_2 = 197,3 \text{ V}$$

ou, em termos fasoriais:

$$\dot{V}_1 = 59 \angle 0^\circ$$

(Deve ser lembrado que a fase de \dot{V} é -60° e que \dot{V}_1 está adiantado de 60° em relação a \dot{V} e que $\dot{V}_2 = 197,3 \angle -75^\circ$.)

Retomando o diagrama de fasores, temos:

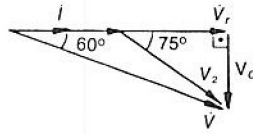


Fig. 5.52 Diagrama de fasores.

onde V_r é a tensão no resistor de 10Ω e V_c , a tensão no capacitor; resulta que:

$$V_r = V_2 \cos 75^\circ \text{ ou } V_r = 51,1 \text{ V}$$

fasorialmente,

$$V_r = 51,1 \angle 0^\circ \text{ (V)}$$

sendo

$$I = \frac{V_r}{r} = \frac{51,1 \angle 0^\circ}{10} = 5,1 \angle 0^\circ$$

Assim, temos:

$$V_1 = 59 \angle 0^\circ, V_2 = 197,3 \angle -75^\circ \text{ e } I = 5,1 \angle 0^\circ$$

No domínio do tempo:

$$v_1(t) = 59\sqrt{2} \cos 377t$$

$$v_2(t) = 197,3 \sqrt{2} \cos (377t - 75^\circ)$$

$$i(t) = 5,1 \sqrt{2} \cos (377t)$$

b) Lembrando que:

$$R = \frac{V_1}{I},$$

temos $R = 11,6 \Omega$

sendo que:

$$V_c = V_2 \sin 75^\circ \text{ ou } V_c = 191,4 \text{ V}$$

e lembrando que:

$$X_c = \frac{V_c}{I}$$

resulta que $X_C = 37,5 \Omega$.

Portanto

$$\frac{1}{\omega C} = 37,5$$

ou, finalmente,

$$C = 70,7 \mu\text{F}$$

5.4 — O gráfico da Fig. 5.53 (fora de escala) representa a admitância de entrada do circuito indicado. O intervalo AB representa a banda passante deste circuito. Determinar:

- a) a frequência de ressonância e o índice de mérito do circuito nessas condições;
- b) os valores dos parâmetros R , L e C .

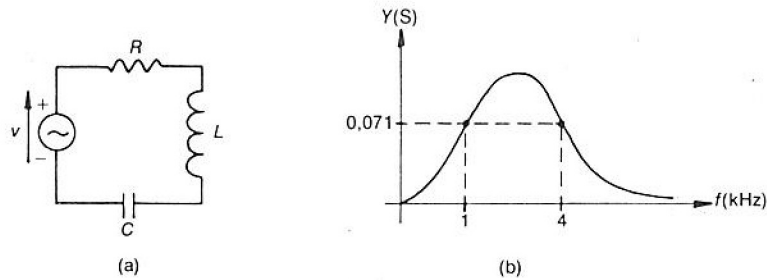


Fig. 5.53 (a) Circuito; (b) gráfico.

Solução

- a) A frequência de ressonância é dada por:

$$f_r = \sqrt{f_1 \cdot f_2} = \sqrt{1 \times 4}$$

logo, $f_r = 2 \text{ kHz}$

e o índice de mérito é:

$$Q_0 = \frac{2}{3}$$

- b) Do gráfico resulta:

$$\frac{G}{\sqrt{2}} = 0,071$$

que nos fornece

$$R = 10 \Omega$$

A partir da relação

$$Q_0 = \frac{X_{Lr}}{R}$$

resulta:

$$X_{Lr} = \frac{20}{3}$$

Lembrando que na ressonância

$$X_{Lr} = X_{Lc}$$

obtemos:

$$L = 0,53 \text{ mH}$$

$$C = 11,9 \text{ F.}$$

5.5— O circuito da figura que se segue é alimentado com tensão eficaz $V = 200 \angle 0^\circ \text{ V}$ ($\omega = 50 \text{ rad/s}$), sendo o amperímetro de ferro-móvel ideal. Determinar:

- a indicação do amperímetro;
- os valores eficazes das correntes i_1 e i_2 e suas expressões no domínio do tempo;
- o diagrama de fasores correspondente.

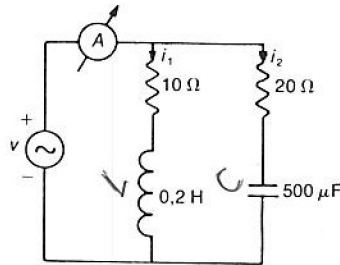


Fig. 5.53a

Solução

Passando para o domínio da frequência, temos:

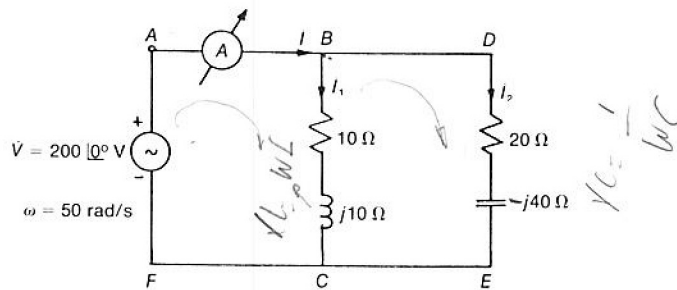


Fig. 5.54 Domínio da frequência.

$$i_1 = \frac{\dot{V}}{Z_{BC}} = \frac{200|0^\circ}{10 + j10} = \frac{200|0^\circ}{10\sqrt{2}|45^\circ} = 10\sqrt{2}|-45^\circ = 14,1|-45^\circ \text{ A}$$

$$i_2 = \frac{\dot{V}}{Z_{DE}} = \frac{200|0^\circ}{20 - j40} = \frac{200|0^\circ}{44,7|-63^\circ} = 4,5|63^\circ \text{ A}$$

$$\begin{aligned} \text{a) } \dot{I} &= \dot{I}_1 + \dot{I}_2 = 14,1|-45^\circ + 4,5|63^\circ = 10 - j10 + 2 + j4 \\ \dot{I} &= 12 - j6 = 13,4|-27^\circ \text{ A} \end{aligned}$$

O amperímetro indicará 13,4 A.

b) Os valores eficazes das correntes i_1 e i_2 são, respectivamente, $I_1 = 14,1$ A e $I_2 = 4,5$ A, e suas expressões no domínio do tempo serão:

$$\begin{aligned} i_1 &= 14,1 \cdot \sqrt{2} \cos(50t - 45^\circ) = 20 \cos(50t - 45^\circ) \\ i_2 &= 4,5 \cdot \sqrt{2} \cos(50t + 63^\circ) = 6,4 \cos(50t + 63^\circ) \end{aligned}$$

c) O diagrama de fasores correspondente está indicado na Fig. 5.55.

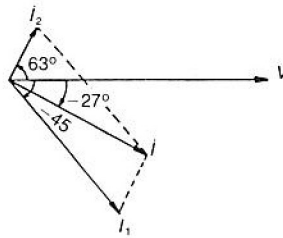


Fig. 5.55 Diagrama de fasores.

5.6 — No circuito da figura que se segue temos $V = 200|0^\circ$ V ($\omega = 100$ rad/s) e $I_1 = 3,5|-100^\circ$ A. Pede-se:

- a tensão V_1 ;
- as correntes I e I_2 ;
- os valores de R e C ;
- o diagrama de fasores.

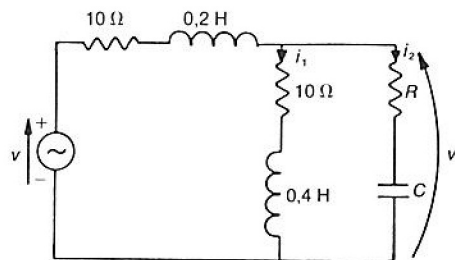


Fig. 5.55a

Solução

Representando o circuito no domínio da frequência, obtemos:

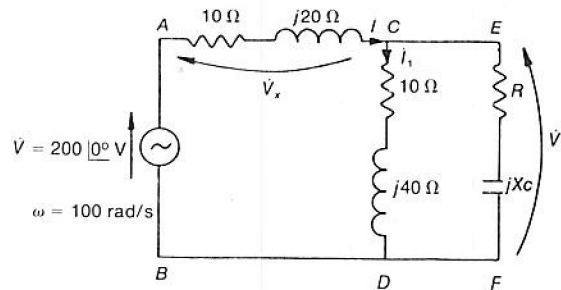


Fig. 5.56 Domínio da frequência.

a) $\dot{V}_1 = \dot{Z}_{CD} \cdot \dot{I}_1 = (10 + j40) \cdot 3,5 \angle -100^\circ = 41,2 \angle 76^\circ \cdot 3,5 \angle -100^\circ$ que resulta:

$$\dot{V}_1 = 144,2 \angle -24^\circ \text{ V}$$

b) $\dot{i} = \frac{\dot{V}_x}{\dot{Z}_{AC}} = \frac{\dot{V} - \dot{V}_1}{\dot{Z}_{AC}} = \frac{200 \angle 0^\circ - 144,2 \angle -24^\circ}{10 + j20}$

ou

$$\dot{i} = \frac{68,3 + j58,7}{10 + j20} = \frac{90,1 \angle 41^\circ}{22,4 \angle 63^\circ}$$

logo

$$\dot{i} = 4,0 \angle -22^\circ \text{ A}$$

sendo que

$$\dot{I}_2 = \dot{i} - \dot{I}_1 = 4 \angle -22^\circ - 3,5 \angle -100^\circ = 3,7 - j1,5 - (-0,6 - j3,4)$$

$$\dot{I}_2 = 4,3 + j1,9 = 4,7 \angle 24^\circ \text{ A ou } \dot{I}_2 = 4,7 \angle 24^\circ \text{ A}$$

c) $\dot{Z}_{EF} = R + jX_C = \frac{\dot{V}_1}{\dot{I}_2} = \frac{144,2 \angle -24^\circ}{4,7 \angle 24^\circ} = 30,7 \angle -48^\circ$

lembrando que

$$R + jX_C = 30,7 \angle -48^\circ = 20,5 - j22,8$$

concluimos que:

$$R = 20,5 \Omega \quad \text{e} \quad X_C = 22,8 \Omega$$

resultando

$$C = \frac{1}{\omega \cdot X_C} = \frac{1}{100 \times 22,8}, \text{ ou seja, } C = 438,6 \mu\text{F}.$$

d) O diagrama de fasores é dado por:

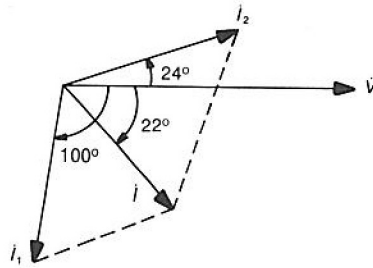


Fig. 5.57 Diagrama de fasores.

5.7 — No circuito da figura que se segue, $v = 2 \cos(10t + 60^\circ)$ (V). Determine:

- a) a admitância de entrada;
- b) a corrente I ;
- c) as correntes I_1, I_2 e I_3 ;
- d) a frequência de ressonância e o fator de qualidade nessa frequência.

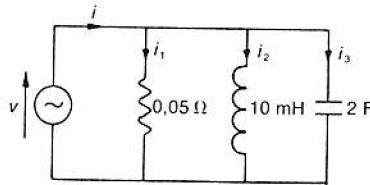


Fig. 5.57a

Solução

No domínio da frequência temos:

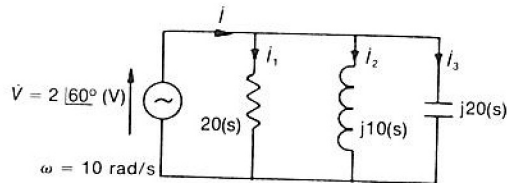


Fig. 5.58 Domínio da frequência.

a) a admitância de entrada será:

$$\dot{Y} = 20 - j10 + j20 \text{ ou } \dot{Y} = 20 + j10 \text{ S} = 22,4 \angle 27^\circ \text{ S}$$

b) $i = \dot{Y} \cdot \dot{V} = 22,4 \angle 27^\circ \cdot 2 \angle 60^\circ = 44,8 \angle 87^\circ \text{ A}$

c) $i_1 = 20 \cdot \dot{V} = 20 \cdot 2 \angle 60^\circ = 40 \angle 60^\circ \text{ A}$
 $i_2 = -j10 \cdot \dot{V} = 10 \angle -90^\circ \cdot 2 \angle 60^\circ = 20 \angle -30^\circ \text{ A}$
 $i_3 = j20 \cdot \dot{V} = 20 \angle 90^\circ \cdot 2 \angle 60^\circ = 40 \angle 150^\circ \text{ A}$

d) $f_0 = 1,13 \text{ Hz}$

$$Q_0 = \frac{R}{X_{L_r}} = \frac{R}{2\pi \cdot f_0 \cdot L} = \frac{0,05}{2 \times 1,13 \times 0,01} = 0,70$$

5.8 — No circuito da figura que se segue, determinar as tensões e correntes indicadas.

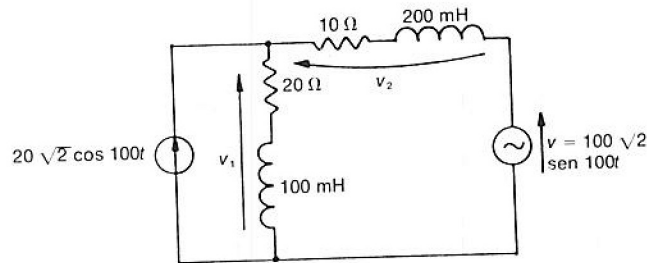


Fig. 5.58a

Solução

Passando para o domínio da frequência, obtemos:

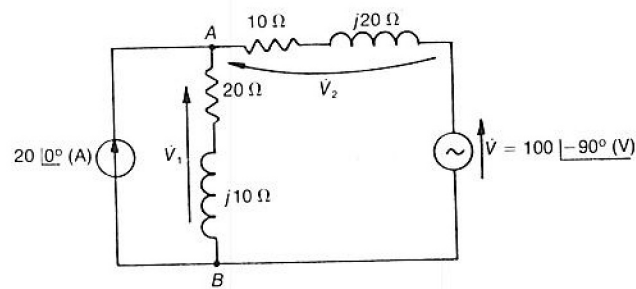


Fig. 5.59 Domínio da frequência.

Transformando a fonte de corrente em uma fonte de tensão equivalente, obtemos:

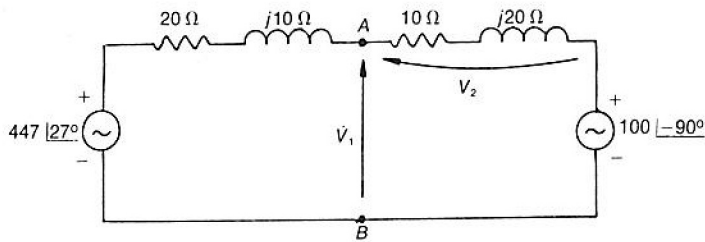


Fig. 5.60 Circuito modificado.

$$i_2 = \frac{447 \angle 27^\circ - 100 \angle -90^\circ}{30 + j30} = \frac{398,3 + j203 - (-j100)}{30 + j30}$$

ou

$$i_2 = \frac{398,3 + j303}{30 + j30} = \frac{500,5 \angle 37^\circ}{42,4 \angle 45^\circ}$$

que resulta:

$$i_2 = 11,8 \angle 8^\circ \text{ A}$$

$$\dot{V}_1 = 447 \angle 27^\circ - (20 + j10) \cdot i_2 = 447 \angle 27^\circ - 22,4 \angle 27^\circ \cdot 11,8 \angle 8^\circ$$

$$\dot{V}_1 = 447 \angle 27^\circ - 264,3 \angle 35^\circ = 398,3 + j202,9 - (216,5 + j151,6)$$

ou

$$\dot{V}_1 = 181,8 + j51,3 = 188,9 \angle 16^\circ \text{ V}$$

$$i_1 = \frac{\dot{V}_1}{20 + j10} = \frac{188,9 \angle 16^\circ}{22,4 \angle 27^\circ} \therefore i_1 = 8,4 \angle -9^\circ \text{ A}$$

$$\dot{V}_2 = (10 + j20) \cdot i_2 = 22,4 \angle 63^\circ \cdot 11,8 \angle 8^\circ$$

que resulta:

$$\dot{V}_2 = 264,3 \angle 71^\circ \text{ V}$$

5.9— Utilizando a análise de malhas, determinar as correntes indicadas no circuito a seguir.

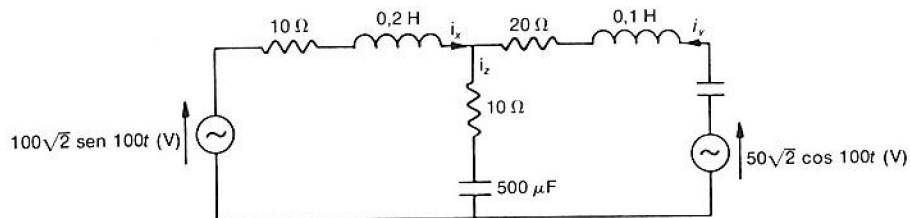


Fig. 5.60a

Solução

Passando para o domínio da frequência, temos:

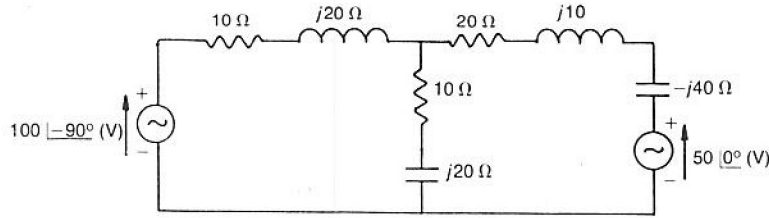


Fig. 5.61 Domínio da frequência.

Equacionando-se o sistema de equações na forma matricial, de maneira semelhante à que foi feita nos circuitos de corrente contínua, vem:

$$\begin{vmatrix} \dot{Z}_{11} & -\dot{Z}_{12} \\ -\dot{Z}_{21} & \dot{Z}_{22} \end{vmatrix} \cdot \begin{vmatrix} \dot{I}_1 \\ \dot{I}_2 \end{vmatrix} = \begin{vmatrix} \dot{E}_1 \\ \dot{E}_2 \end{vmatrix}$$

ou

$$\begin{vmatrix} 20 & -(10 - j20) \\ -(10 - j20) & 30 - j50 \end{vmatrix} \cdot \begin{vmatrix} \dot{I}_1 \\ \dot{I}_2 \end{vmatrix} = \begin{vmatrix} 100 \angle -90^\circ \\ -50 \angle 0^\circ \end{vmatrix}$$

Resolvendo o sistema, obtemos:

$$\Delta = \begin{vmatrix} 20 & -10 + j20 \\ -10 + j20 & 30 - j50 \end{vmatrix} = 600 - j1\,000 - 100 + 400 + 400j$$

ou seja,

$$\Delta = 900 - j600 = 1081,7 \angle -34^\circ$$

$$\Delta_1 = \begin{vmatrix} 100 \angle -90^\circ & -10 + j20 \\ -50 \angle 0^\circ & 30 - j50 \end{vmatrix} = \begin{vmatrix} -j100 & -10 + j20 \\ -50 & 30 - j50 \end{vmatrix}$$

$$\Delta_1 = -j3\,000 - 5\,000 - 5\,000 + j1\,000 = -10\,000 - j2\,000 =$$

$$\Delta_1 = 10\,198 \angle -169^\circ$$

$$\Delta_2 = \begin{vmatrix} 20 & -j100 \\ -10 + j20 & -50 \end{vmatrix} = -1\,000 - j1\,000 - 2\,000 = 3\,162,3 \angle -162^\circ$$

$$\Delta_2 = -3\,000 - j1\,000 = 3162,3 \angle -162^\circ$$

$$\dot{I}_1 = \frac{\Delta_1}{\Delta} = \frac{10\,198 \angle -169^\circ}{1\,081,7 \angle -34^\circ} = 9,4 \angle -135^\circ \text{ A}$$

$$\dot{I}_2 = \frac{\Delta_2}{\Delta} = \frac{3\,162,3 \angle -162^\circ}{1\,081,7 \angle -34^\circ} = 2,9 \angle -128^\circ \text{ A}$$

Portanto:

$$\dot{I}_x = \dot{I}_1 = 9,4 \angle -135^\circ \text{ A}; \dot{I}_y = \dot{I}_2 = 2,9 \angle -128^\circ \text{ A}$$

e

$$\begin{aligned} \dot{I}_z &= \dot{I}_1 - \dot{I}_2 = 9,4 \angle -135^\circ - 2,9 \angle -128^\circ \\ \dot{I}_z &= 6,6 \angle -138^\circ \text{ A} \end{aligned}$$

No domínio do tempo:

$$\begin{aligned} i_x &= 94 \sqrt{2} \cos(100t - 135^\circ) \\ i_y &= 2,9 \sqrt{2} \cos(100t - 128^\circ) \\ i_z &= 6,6 \sqrt{2} \cos(100t - 138^\circ) \end{aligned}$$

5.10 — Utilizando a análise nodal, determine as tensões \dot{V}_1 e \dot{V}_2 e a corrente \dot{I} , do circuito da Fig. dada a seguir. Escrevendo-se o sistema de matrizes correspondentes, vem:

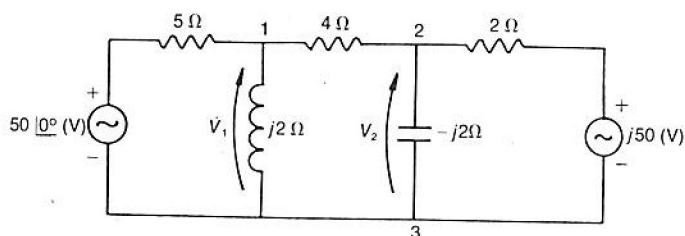


Fig. 5.61a

Solução

Transformando as fontes de tensão em fontes de correntes e as impedâncias em admitâncias, obtemos:

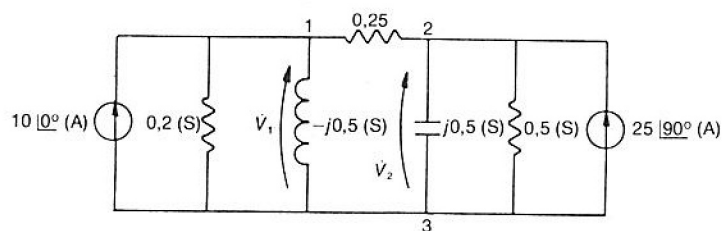


Fig. 5.62 Circuito modificado.

Escrevendo o sistema de matrizes correspondentes, vem:

$$\begin{vmatrix} \dot{Y}_{11} & -\dot{Y}_{12} \\ -\dot{Y}_{21} & \dot{Y}_{22} \end{vmatrix} \cdot \begin{vmatrix} \dot{V}_1 \\ \dot{V}_2 \end{vmatrix} = \begin{vmatrix} \dot{J}_1 \\ \dot{J}_2 \end{vmatrix}$$

ou

$$\begin{vmatrix} (0,45 - j0,5) & 0,25 \\ -0,25 & (0,75 + j0,5) \end{vmatrix} \begin{vmatrix} \dot{V}_1 \\ \dot{V}_2 \end{vmatrix} = \begin{vmatrix} 10 \angle 0^\circ \\ 25 \angle 90^\circ \end{vmatrix}$$

chamando

$$\Delta_y = \begin{vmatrix} 0,45 - j0,5 & 0,25 \\ -0,25 & 0,75 + j0,5 \end{vmatrix} = 0,55 \angle -16^\circ$$

$$\Delta_1 = \begin{vmatrix} 10 \angle 0^\circ & -0,25 \\ 25 \angle 90^\circ & 0,75 + j0,5 \end{vmatrix} = 13,5 \angle 56^\circ$$

$$\Delta_2 = \begin{vmatrix} (0,45 - j0,5) & 10 \angle 0^\circ \\ -0,25 & 25 \angle 90^\circ \end{vmatrix} = 18,4 \angle 38^\circ$$

Resulta:

$$\dot{V}_1 = \frac{\Delta_1}{\Delta_y} = \frac{13,5 \angle 56^\circ}{0,55 \angle -16^\circ} = 24,6 \angle 72^\circ \text{ V}$$

$$\dot{V}_2 = \frac{\Delta_2}{\Delta} = \frac{18,4 \angle 38^\circ}{0,55 \angle -16^\circ} = 33,5 \angle 54^\circ \text{ V}$$

$$i = 0,25 \cdot (\dot{V}_1 - \dot{V}_2) = 0,25 [7,6 + j23,4 - (19,7 + j27,1)]$$

ou

$$i = 0,25 \cdot (-12,1 - j3,7) = 0,25 \times 12,7 \angle -163^\circ$$

logo

$$i = 3,2 \angle -163^\circ \text{ A}$$

5.11 — No circuito da Fig. 5.62a, determinar o gerador de Thévenin equivalente entre *A* e *B*. Que corrente passará por um resistor de resistência $R = 4 \Omega$, quando ligados *A* e *B*?

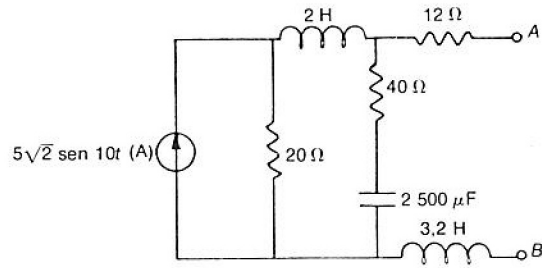


Fig. 5.62a

Solução

Passando para o domínio da frequência, vem:

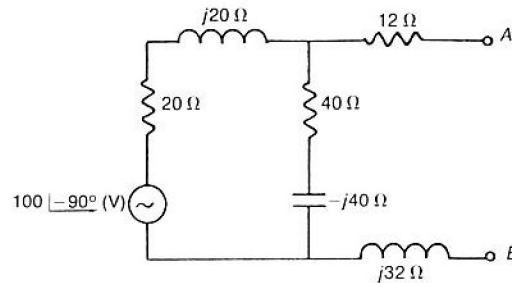


Fig. 5.63 Circuito modificado.

A impedância de Thévenin equivalente será:

$$\dot{Z}_{th} = 12 + j32 + \frac{(20 + j20)(40 - j40)}{(20 + j20)(40 - j40)} = 36 + j40 \Omega = 13,5 \angle 47^\circ \Omega$$

A tensão no gerador de Thévenin equivalente é:

$$\dot{V}_{th} = \frac{100 \angle -90^\circ}{20 + j20 + 40 - j40} \cdot (40 - j40) = -20(2 + j4) = 40 \sqrt{5} \angle -117^\circ$$

ou

$$\dot{V}_{th} = 90 \angle -117^\circ \text{ V}$$

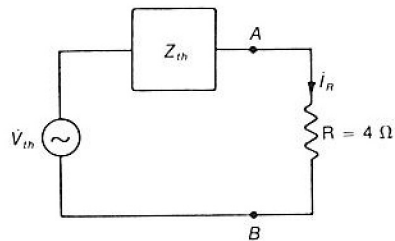


Fig. 5.64 Thévenin equivalente.

$$i = \frac{90 \angle -117^\circ}{36 + j40 + 4} = \frac{90 \angle -117^\circ}{40 + j40} = \frac{90 \angle -117^\circ}{40 \sqrt{2} \angle 45^\circ} = 1,6 \angle -162^\circ \text{ A}$$

logo

$$\dot{I} = 1,6 \angle -162^\circ \text{ A}$$

5.12 — Determine a tensão V_1 do circuito da figura dada a seguir, utilizando o teorema de Thévenin para a parte situada à esquerda de AB , de modo que a corrente I indicada seja nula.

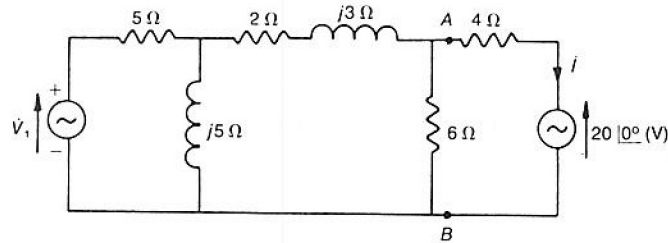


Fig. 5.64a

Solução

Do circuito obtemos:

$$\dot{Z}_{th} = \frac{\left(\frac{j25}{5 + j5} + 2 + j3 \right) \cdot 6}{\frac{j25}{5 + j5} + 2 + j3 + 6} = \frac{(4,5 + j5,5) \cdot 6}{10,5 + j5,5}$$

$$\dot{Z}_{th} = \frac{42,6 \angle 51^\circ}{11,9 \angle 28^\circ} = 3,6 \angle 23^\circ$$

Cálculo da tensão \dot{V}_{th} :

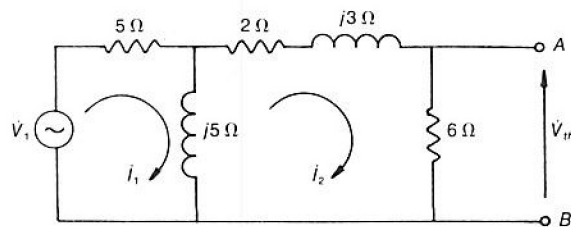


Fig. 5.65 Circuito para determinação do Thévenin equivalente.

Por análise de malhas, obtemos:

$$\begin{vmatrix} 5 + j5 & -j5 \\ -j5 & 8 + j8 \end{vmatrix} \begin{vmatrix} \dot{I}_1 \\ \dot{I}_2 \end{vmatrix} = \begin{vmatrix} \dot{V}_1 \\ 0 \end{vmatrix}$$

chamando

$$\Delta = \begin{vmatrix} 5 + j5 & -j5 \\ -j5 & 8 + j8 \end{vmatrix} = 25 + j80$$

$$\Delta_2 = \begin{vmatrix} -j5 & \dot{V}_1 \\ -j5 & 0 \end{vmatrix} = j5 \cdot \dot{V}_1$$

resulta:

$$\dot{I}_2 = \frac{\Delta_2}{\Delta} = \frac{j5 \cdot \dot{V}_1}{25 + j80}$$

logo

$$\dot{V}_{th} = 6 \cdot \dot{I}_2 = \frac{30j \cdot \dot{V}_1}{25 + j80}$$

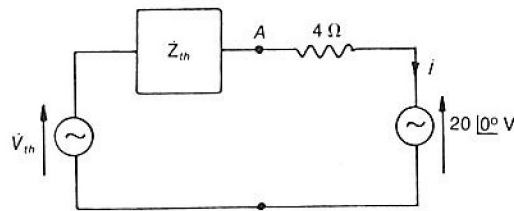


Fig. 5.66 Thévenin equivalente.

Se $\dot{I} = 0$, então

$$\dot{V}_{th} = 20 \angle 0^\circ,$$

ou seja:

$$\frac{30j \cdot \dot{V}_1}{25 + j80} = 20 \therefore \dot{V}_1 = \frac{20(25 + j80)}{j30} = \frac{20 \cdot 83,8 \angle 73^\circ}{30 \angle 90^\circ}$$

logo:

$$\dot{V}_1 = 55,9 \angle -17^\circ \text{ V}$$

5.13 — No circuito da figura que se segue, a tensão aplicada pela fonte é dada por $v = 100 \cos(200t + 60^\circ)$ (V) e a corrente é dada por $i = 5\sqrt{2} \cos(200t + 15^\circ)$ (A). Determine R e L .

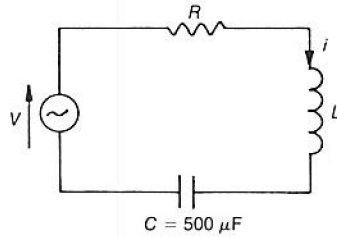


Fig. 5.66a

Resposta

$$R \cong 10 \Omega \text{ e } L = 0,1 \text{ H}$$

5.14 — Determinar, no circuito da figura a seguir, a impedância de entrada e calcular, no domínio do tempo e no domínio da frequência, as tensões e correntes indicadas.

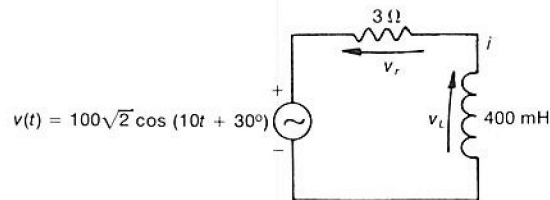


Fig. 5.66b

Resposta

$$\begin{aligned} \dot{Z} &= 3 + j4 (\Omega); \\ \dot{I} &= 20 \angle -23^\circ (\text{A}); \\ i(t) &= 20\sqrt{2} \cos(10t - 23^\circ); \\ \dot{V}_R &= 60 \angle -23^\circ (\text{V}); \\ v_r(t) &= 60\sqrt{2} \cos(10t - 23^\circ); \\ \dot{V}_L &= 80 \angle 67^\circ; \\ V_L(t) &= 80\sqrt{2} \cos(10t + 67^\circ). \end{aligned}$$

5.15 — No circuito da Fig. 5.66c determine:

- a impedância de entrada;
- as tensões indicadas no domínio do tempo e no domínio da frequência;
- a corrente indicada no domínio do tempo e no domínio da frequência.

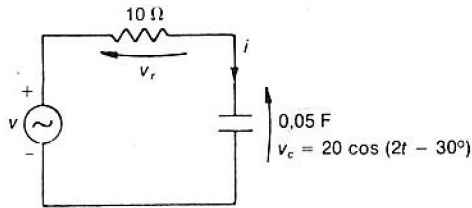


Fig. 5.66c

Resposta

- a) $\dot{Z} = 10 - j10 \text{ } (\Omega)$
 b) $\dot{V}_R = 20 \angle 60^\circ \text{ (V)}$
 $v_{r(t)} = 20\sqrt{2} \cos(2t + 60) \text{ (V)}$
 $\dot{V} = 20\sqrt{2} \angle 15^\circ \text{ (V)}$
 $v(t) = 40 \cos(2t + 15) \text{ (V)}$
 c) $\dot{I} = 2 \angle 60^\circ \text{ (A)}$
 $i(t) = 2\sqrt{2} \cos(2t + 60) \text{ (A)}$

5.16 — No circuito a seguir, determine:

- a) a impedância de entrada;
 b) a corrente no domínio da frequência;
 c) as tensões indicadas no domínio de frequência.

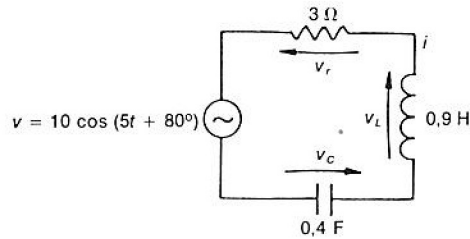


Fig. 5.66d

Resposta

- a) $\dot{Z} = 3 + j4 \text{ } (\Omega)$
 b) $\dot{I} = \sqrt{2} \angle 27^\circ \text{ (A)}$
 c) $\dot{V}_R = 3\sqrt{2} \angle 27^\circ \text{ (V)}$
 $\dot{V}_L = 4,5\sqrt{2} \angle 117^\circ \text{ (V)}$
 $\dot{V}_C = 0,5\sqrt{2} \angle -63^\circ \text{ (V)}$

5.17 — No circuito da Fig. 5.66e, determine:

- a) a impedância de entrada;
 b) a corrente \dot{I} ;

- c) as tensões \dot{V} , \dot{V}_R e \dot{V}_C ;
 d) a frequência de ressonância;
 e) o fator de qualidade na ressonância.

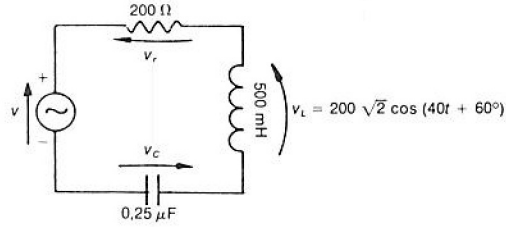


Fig. 5.66e

Resposta

- a) $\dot{Z} = 20 - j20 (\Omega)$
 b) $\dot{I} = 10 \angle -30^\circ (\text{A})$
 c) $\dot{V} = 200 \angle -75^\circ (\text{V})$
 $\dot{V}_R = 100\sqrt{2} \angle -30^\circ (\text{V})$
 $\dot{V}_C = 200\sqrt{2} \angle -120^\circ (\text{V})$
 d) $f_0 = 9 \text{ Hz}$
 e) $Q_0 = 1,41$

5.18 — No circuito da Fig. 5.67 temos $\dot{I} = 5 \angle -30^\circ \text{ A}$ e o diagrama de fasores correspondente está representado ao lado. Sendo $f = 60 \text{ Hz}$, determinar:

- a) \dot{V} , \dot{V}_1 e \dot{V}_2 ;
 b) R e L .

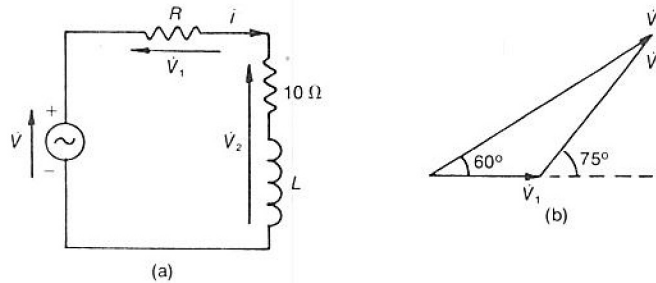


Fig. 5.67 (a) Circuito; (b) diagrama de fasores.

Resposta

- a) $\dot{V} = 215,4 \angle 30^\circ (\text{V})$
 $\dot{V}_1 = 57,7 \angle -30^\circ (\text{V})$
 $\dot{V}_2 = 193,2 \angle 45^\circ (\text{V})$
 b) $R = 11,5 \Omega$
 $L = 100 \text{ mH}$

5.19 — No circuito da Fig. 5.68 sabe-se que $\dot{I} = 4\sqrt{2}\angle 15^\circ$ e $\dot{V} = 40\sqrt{2}\angle \theta$. Seu diagrama de fasores está representado ao lado. Determinar:

- \dot{V} , \dot{V}_1 , \dot{V}_2 e \dot{I} ;
- R e L , sabendo que $f = 60$ Hz.

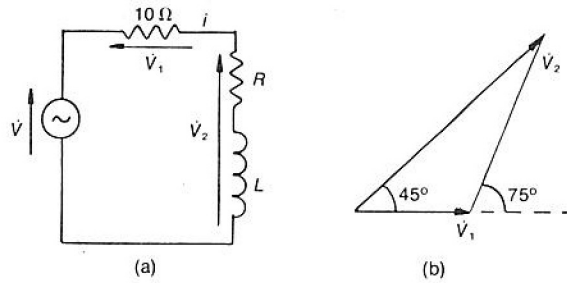


Fig. 5.68 (a) Circuito; (b) diagrama de fasores.

Resposta

- $\dot{V} = 77,3\sqrt{2}\angle 60^\circ$ (V)
 $\dot{V}_1 = 40\sqrt{2}\angle 15^\circ$ (V)
 $\dot{V}_2 = 56,8\sqrt{2}\angle 90^\circ$ (V)
 $\dot{I} = 4\sqrt{2}\angle 15^\circ$ (A)
- $R = 3,7 \Omega$
 $L = 36$ mH

5.20 — No circuito da Fig. 5.69 tem-se $\dot{V} = 200\sqrt{2}\angle -30^\circ$, o diagrama de fasores correspondente está representado ao lado. Determine:

- \dot{I} , \dot{V}_1 e \dot{V}_2 ;
- R e C , sendo $f = 60$ Hz.

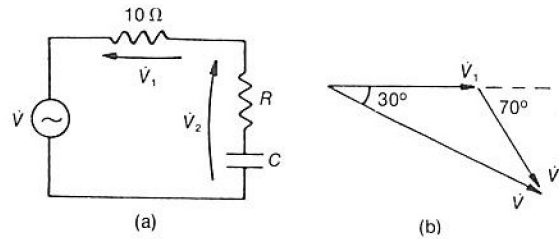


Fig. 5.69 (a) Circuito; (b) diagrama de fasores.

Resposta

- $\dot{I} = 7,2\sqrt{2}\angle 20^\circ$ (A)
 $\dot{V}_1 = 72,3\sqrt{2}\angle 20^\circ$ (V)
 $\dot{V}_2 = 163,8\sqrt{2}\angle -50^\circ$ (V)
- $R = 7,8 \Omega$ e $C = 124 \mu\text{F}$.

5.21 — No circuito da Fig. 5.70 a admitância de entrada varia com a frequência conforme o gráfico indicado. Determinar:

- a frequência (f_0) e o fator de qualidade do circuito nessa frequência.
- os parâmetros R , L e C ;
- a relação entre as intensidades que assume a corrente i na frequência de ressonância e na frequência de uma oitava abaixo ($f_0/2$).

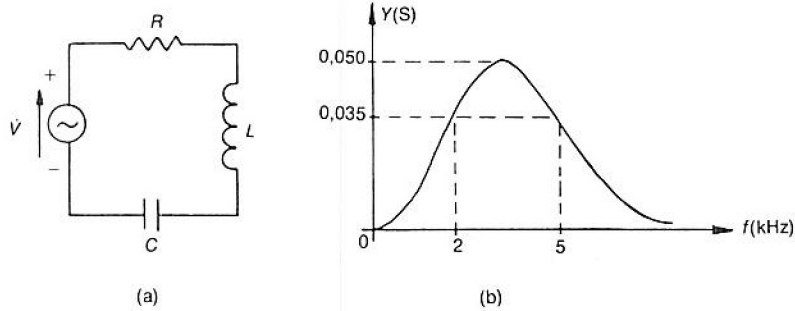


Fig. 5.70 (a) Circuito; (b) gráfico.

Resposta

- $f_0 = 3,16 \text{ kHz}$
- $R = 20 \ \Omega$; $L = 1,1 \text{ mH}$ e $C = 2,4 \ \mu\text{F}$
- $\frac{I_0}{I'} = 1,8$

5.22 — Nos circuitos dados a seguir, determine as tensões e as correntes indicadas e trace os diagramas de fasores correspondentes.

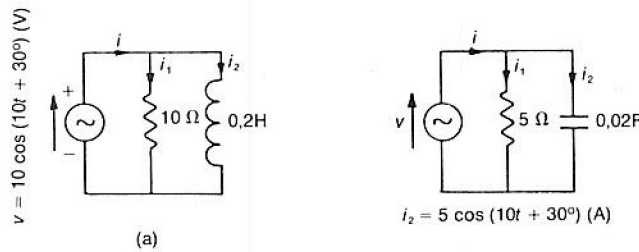


Fig. 5.70a

Resposta

- $i_1 = 1 \cos(5t + 30^\circ)$; $i_2 = 1 \cos(5t - 60^\circ)$ e $i = \sqrt{2} \cos(5t - 15^\circ)$.

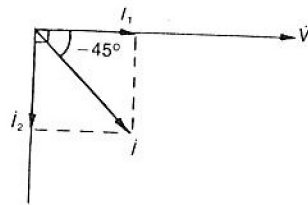


Fig. 5.70b

b) $v = 25 \cos(10t - 60^\circ)$; $i_1 = 5 \cos(10t - 60^\circ)$ e $i = 7,1 \cos(10t - 15^\circ)$

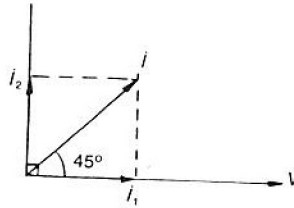


Fig. 5.70c

5.23 — No circuito a seguir, determine as tensões e correntes indicadas e a impedância medida entre *A* e *B*.

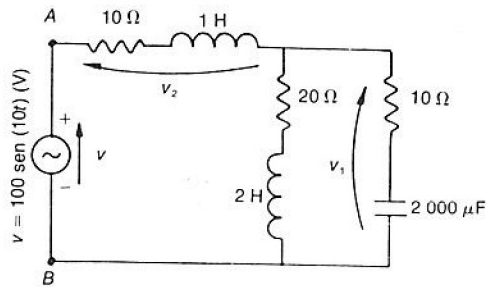


Fig. 5.70d

Resposta

$$Z_{AB} = 46,4 \angle 21^\circ;$$

$$i = 2,2 \cos(10t - 111^\circ);$$

$$i_1 = 2,7 \cos(10t - 145^\circ);$$

$$i_2 = 1,5 \cos(10t - 21^\circ);$$

$$v_1 = 77,8 \cos(10t - 100^\circ);$$

$$v_2 = 31,1 \cos(10t - 66^\circ).$$

5.24 — No circuito da Fig. 5.70e são dadas $\dot{V} = 138 \angle 36^\circ$ V e $\dot{V}_1 = 50 \angle 30^\circ$ V. A frequência é $f = 100$ Hz. Determinar:

a) a impedância da parte situada à direita de *AB*;

- b) as correntes \dot{I} , \dot{I}_1 e \dot{I}_2 ;
 c) os parâmetros R e L .

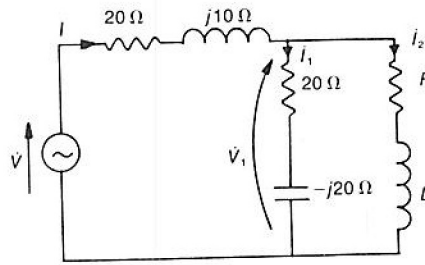


Fig. 5.70e

Resposta

- a) $\dot{Z}_{AB} = 12 + j3,9 \text{ } (\Omega)$
 b) $\dot{I} = 3,4 \underline{12^\circ} \text{ (A)}$
 $\dot{I}_1 = 1,8 \underline{75^\circ} \text{ (A)}$
 $\dot{I}_2 = 3,5 \underline{-15^\circ} \text{ (A)}$
 c) $R = 10 \text{ } \Omega$ e $L = 16 \text{ mH}$

5.25 — No circuito a seguir são conhecidos $\dot{V} = 138 \underline{36^\circ} \text{ V}$ e $\dot{V}_1 = 50 \underline{30^\circ} \text{ V}$. A frequência é $f = 60 \text{ Hz}$. Determinar:

- a) a admitância do trecho situado à direita de AB ;
 b) as correntes \dot{I} , \dot{I}_1 e \dot{I}_2 ;
 c) os parâmetros R e L .

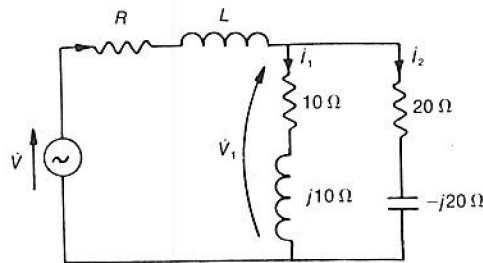


Fig. 5.70f

Resposta

- a) $\dot{Z}_{AB} = 12,7 \underline{18^\circ}$
 b) $\dot{I} = 3,9 \underline{12^\circ}$
 $\dot{I}_1 = 3,5 \underline{-1,5^\circ}$
 $\dot{I}_2 = 1,8 \underline{75^\circ}$
 c) $R = 20,1 \text{ } \Omega$
 $L = 28 \text{ mH}$

5.26 — No circuito a seguir, determinar a tensão V_x utilizando a análise de malhas.

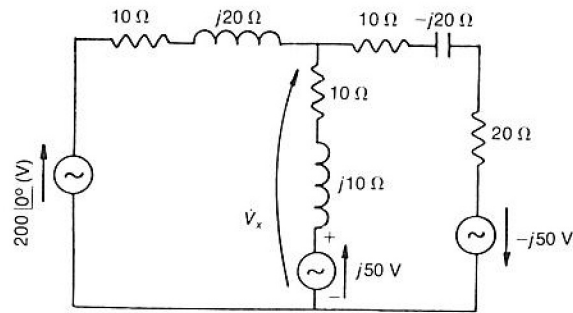


Fig. 5.70g

Resposta

$$\dot{V}_x = 59,4 \angle 2^\circ \text{ (V)}.$$

5.27 — No circuito dado a seguir, determinar as correntes e tensões indicadas.

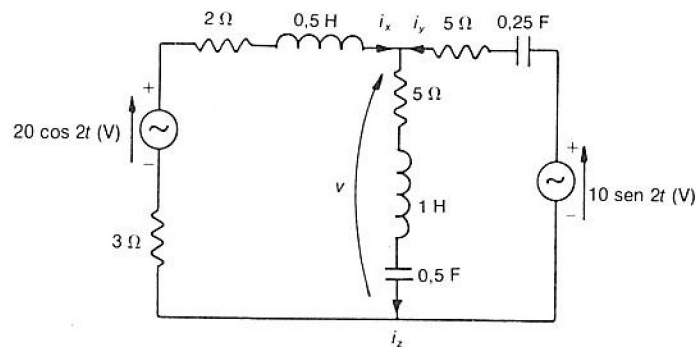


Fig. 5.70h

Resposta

$$i_x = 2,5 \cos(2t + 9^\circ); i_y = 1,8 \cos(2t + 56^\circ);$$

$$i_z = 1,8 \cos(2t - 39^\circ); v = 9,5 \cos(2t - 28^\circ).$$

5.28 — Para a rede da Fig. a seguir, escrever o sistema de equações, na forma matricial, que resultam da aplicação da análise de malhas.

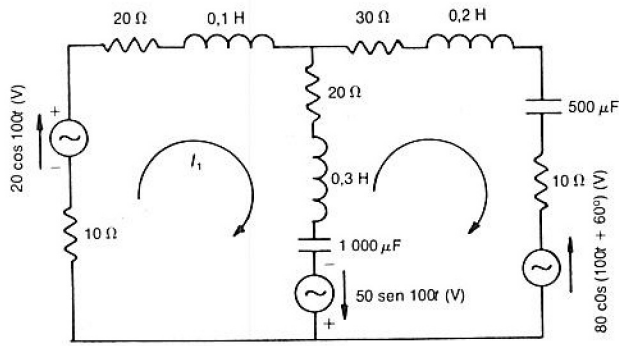


Fig. 5.70i

Resposta

$$\begin{vmatrix} (50 + j30) & -(20 + j20) \\ -(20 + j20) & (60 + j20) \end{vmatrix} \cdot \begin{vmatrix} \dot{I}_1 \\ \dot{I}_2 \end{vmatrix} = \begin{vmatrix} 20 \angle 0^\circ + 50 \angle -90^\circ \\ -80 \angle 60^\circ - 50 \angle -90^\circ \end{vmatrix}$$

5.29— Para a rede da figura que se segue, escrever o sistema de equações, na forma matricial, que resultam da aplicação da análise de malhas.

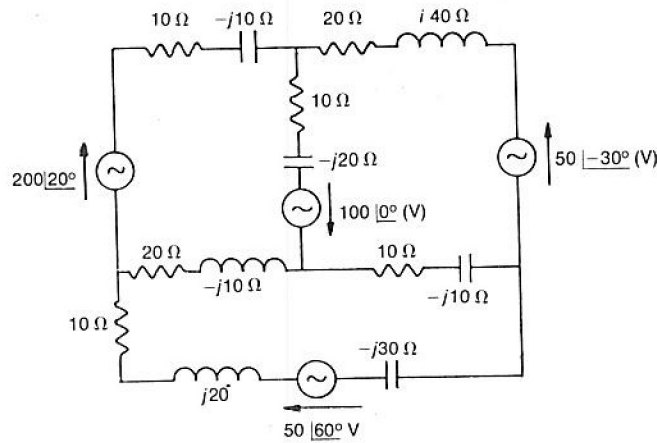


Fig. 5.70j

Resposta

$$\begin{vmatrix} (40 - j20) & -(10 - j20) & -(20 + j10) \\ -(10 - j20) & (40 + j10) & -(10 \cdot j10) \\ -(20 + j10) & -(10 - j10) & (60 - j10) \end{vmatrix} \cdot \begin{vmatrix} \dot{I}_1 \\ \dot{I}_2 \\ \dot{I}_3 \end{vmatrix} = \begin{vmatrix} 100 \angle 0^\circ + 200 \angle 20^\circ \\ -50 \angle 30^\circ - 100 \angle 0^\circ \\ 50 \angle 60^\circ \end{vmatrix}$$

5.30 — Para o circuito dado a seguir escrever o sistema de equações, na forma matricial, que resultam da aplicação da análise nodal.

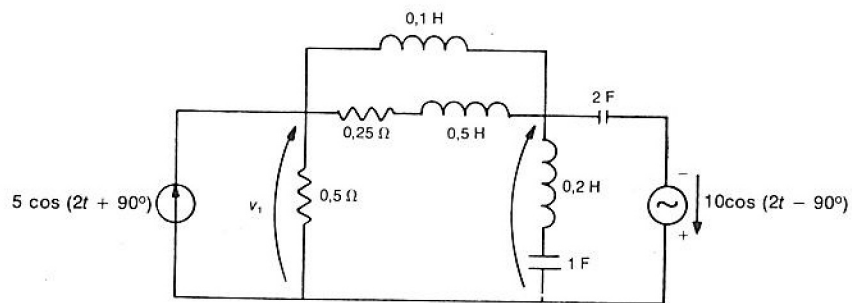


Fig. 5.70k

Resposta

$$\begin{vmatrix} 2,2 - j6 & -0,2 - j6 \\ -0,2 + j6 & 0,2 + j8 \end{vmatrix} \cdot \begin{vmatrix} \dot{V}_1 \\ \dot{V}_2 \end{vmatrix} = \begin{vmatrix} j5 \\ 40 \end{vmatrix}$$

5.31 — Para o circuito dado a seguir, escrever o sistema de equações, na forma matricial, que resultam da aplicação da análise nodal.

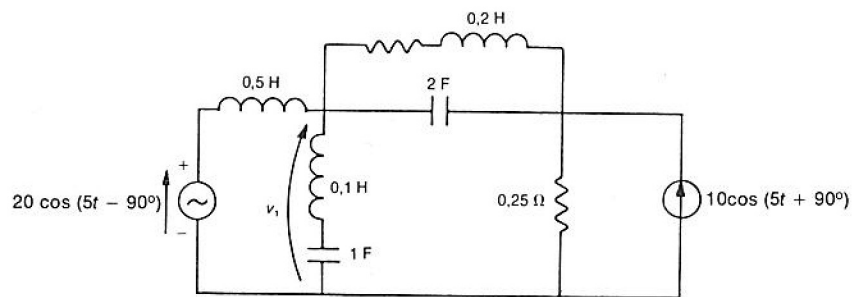


Fig. 5.70l

Resposta

$$\begin{vmatrix} 0,2 + j4,9 & -0,2 - j9 \\ -0,2 - j9 & 4,2 + j9 \end{vmatrix} \cdot \begin{vmatrix} \dot{V}_1 \\ \dot{V}_2 \end{vmatrix} = \begin{vmatrix} -8 \\ j10 \end{vmatrix}$$

5.32 — Representar o circuito da Fig. 5.70m, no domínio da frequência e escrever o sistema de equações, na forma matricial, que resultam da aplicação da análise de malhas.

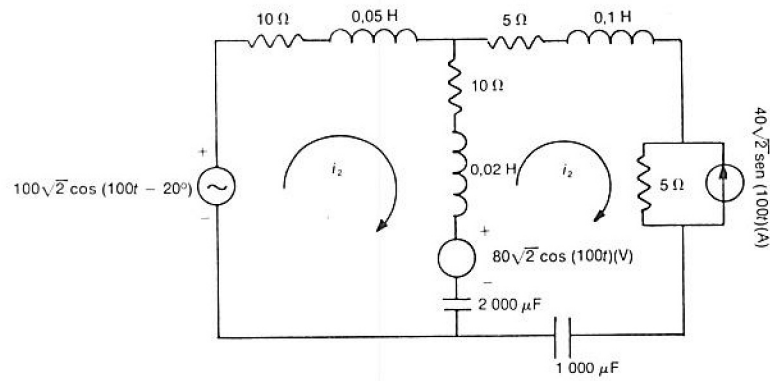


Fig. 5.70m

Resposta

$$\begin{vmatrix} 20 + j2 & -10 + j3 \\ -10 + j3 & 20 - j3 \end{vmatrix} \cdot \begin{vmatrix} I_1 \\ I_2 \end{vmatrix} = \begin{vmatrix} 100 \angle -20^\circ - 80 \angle 0^\circ \\ 80 \angle 0^\circ - 200 \angle 90^\circ \end{vmatrix}$$

5.33 — Utilizando o teorema de Thévenin para a parte situada à esquerda de AB , determine \dot{V}_1 para que se tenha $\dot{I} = 10 \angle 0^\circ$ (A).

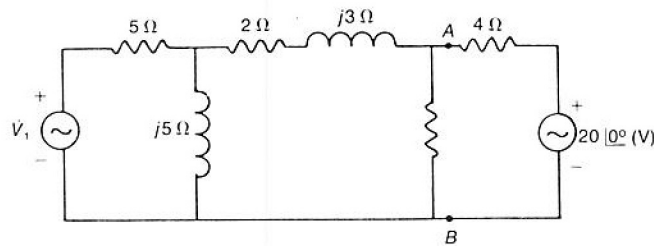


Fig. 5.70n

Resposta

$$\dot{V}_1 = 263 \angle -8^\circ \text{ (V)}.$$

5.34 — Determine o Thévenin equivalente entre os pontos A e B do circuito da Fig. 5.71a. Qual a corrente I no ramo AB , quando entre A e B é ligada a associação da Fig. 5.71(b)?

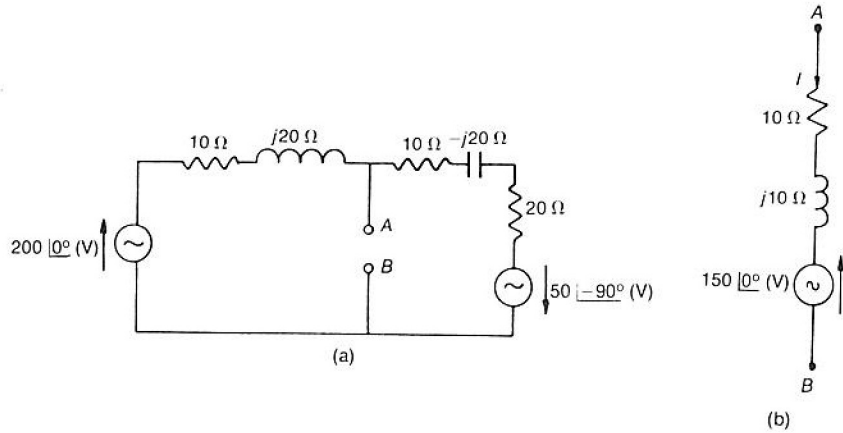


Fig. 5.71 (a) Circuito; (b) associação.

Resposta

$$\begin{aligned} \dot{V}_{th} &= 152,5 \angle -35^\circ \text{ (V)} \\ \dot{Z}_{th} &= 20,2 \angle 30^\circ \text{ (\Omega)} \\ \dot{I} &= 5,5 \angle -84^\circ \text{ (A)} \end{aligned}$$

5.35 — No circuito a seguir, determine:

- a tensão \dot{V}_{AB} ;
- a corrente I que passará por um resistor de resistência $R = 10 \Omega$, quando ligado entre A e B .

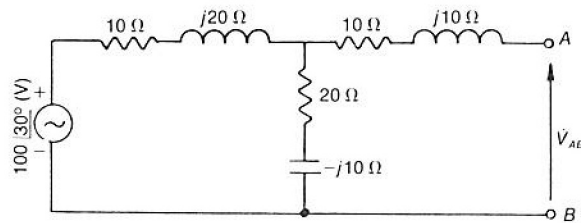


Fig. 5.71a

Resposta

$$\begin{aligned} \text{a) } \dot{V}_{AB} &= 71,7 \angle -15^\circ \text{ (V)} \\ \text{b) } \dot{I} &= 1,9 \angle -38^\circ \text{ (A)} \end{aligned}$$

5.36 — Determine o gerador de Norton equivalente entre A e B para o circuito da Fig. 5.71b a seguir.

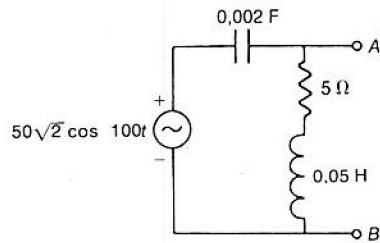


Fig. 5.71b

Resposta

$$i_N = j10 \text{ (A)};$$

$$Z_N = 5 - j5 \text{ (\Omega)}.$$

5.37 — Determine o Norton equivalente entre os pontos A e B do circuito a seguir.

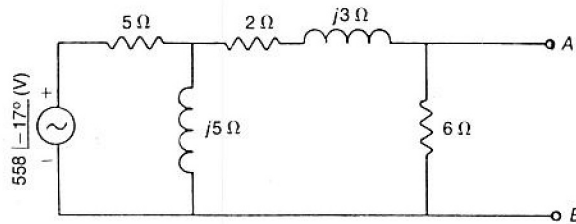


Fig. 5.71c

Resposta

$$I_N = 5,6 \angle -23^\circ \text{ (A)}; Z_N = 3,6 \angle 23^\circ \text{ (\Omega)}.$$

5.38 — Determine o Thévenin equivalente entre os pontos XY do circuito.

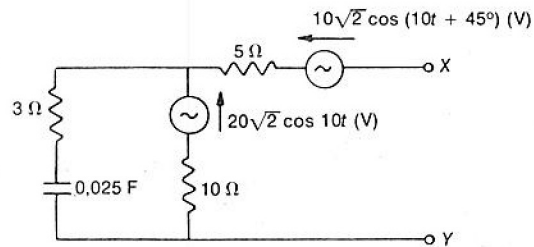


Fig. 5.71d

Resposta

$$\dot{V}_{th} = 11,4 \angle 264^\circ \text{ (V)}; Z_{th} = 8,3 \angle -15^\circ \text{ (\Omega)}.$$